

Ingenieurbüro Eva Jenennchen

JERA

Jenennchen - Energie : Regenerative / Alternative

Blendanalyse

PV-Kraftwerk Bernstadt

Photovoltaik Freilandanlage

Auftraggeber:

Frau Oi Yun Man
solargrün GmbH
Marie-Curie-Ring 15
55291 Saulheim

Ilmenau, 22.03.2022

Version Nr.: 1.1

Gutachtennummer: BAL-K123-22017-V11

Auftragnehmer:

Ingenieurbüro JERA
Heydaer Straße 5
98693 Ilmenau OT Bücheloh

Dipl.-Ing. Eva Jenennchen
(Bearbeiter und Teamleitung)

Inhaltsverzeichnis

	Seite
Inhaltsverzeichnis	1
1. Beauftragung	2
2. Grundlagen	3
a. Begriffsbestimmung Blendung	3
b. Physikalische Grundlagen	4
c. Berechnung der Lichttechnik	6
d. Mathematische Berechnungsmethode der astronomischen Blendzeiten	7
e. Reflektionsverhalten von PV-Modulen	9
3. Rahmenbedingungen am Standort	10
4. mögliche Immissionsobjekte	10
5. Situation am Anlagenstandort	12
a. Bewertung der Immissionsorte	13
b. Berechnung der Lichttechnik	16
c. Astronomische Blendung	19
6. Fazit	19
7. Gewährleistung	19
8. Tabellenverzeichnis	20
9. Abbildungsverzeichnis	20

1. Beauftragung



Abbildung 1: Satellitenbild mit Modulbelegungsplan der geplanten PV-Fläche

[Quelle: GoogleEarth + Kunde]

Auftraggeber:	Frau Oi Yun Man solargrün GmbH Marie-Curie-Ring 15 55291 Saulheim
Auftragsdatum:	01.03.2022
Anlagentyp:	Photovoltaik Freilandanlage
Standort:	Bernstadt (48°29' nördliche Breite; 10°00' östliche Länge; 555 m ü. NN.)

Tabelle 1: Beauftragung

Dem Auftragnehmer standen die erforderlichen Unterlagen in Form des Modulbelegungsplanes vom geplanten Standort zur Verfügung.

Zur Beurteilung der Blendwirkung als Immission bezieht sich dieses Gutachten auf die Bund/Länder-Arbeitsgemeinschaft für Immissionsschutz (im Folgenden "LAG I") (Hinweise zur Messung, Beurteilung und Minderung von Lichtimmissionen, vom 13.09.2012).

2. Grundlagen

a. Begriffsbestimmung Blendung

Bei der Blendung durch Lichtquellen wird zwischen der physiologischen und psychologischen Blendung unterschieden. Während die physiologische Blendung, die die Minderung des Sehvermögens durch Streulicht im Glaskörper des Auges beschreibt, bei den üblichen Immissionssituationen nicht auftritt, werden die Anwohner häufig durch die psychologische Blendung belästigt. Das ist selbst dann so, wenn sich die Lichtquelle in größerer Entfernung befindet, so dass sie im Wohnbereich keine nennenswerte Aufhellung erzeugt. Die Belästigung entsteht durch die ständige und ungewollte Ablenkung der Blickrichtung zur Lichtquelle hin, die bei einem großen Unterschied der Leuchtdichte der Lichtquelle zur Umgebungsleuchtdichte die ständige Adaptation des Auges auslöst [Quelle: Lichtleitlinie des Landes Brandenburg vom 16. April 2014].

Im Zuge eines Blendgutachtens muss daher zwischen der physiologischen und der psychologischen Blendung unterschieden werden. Die physiologische Blendung wird in diesem Gutachten als Beeinträchtigung eines Betrachters bezeichnet und für verkehrstechnisch relevante Immissionsorte wie Straßen oder Bahnlinien verifiziert. Diese Betrachtung liegt außerhalb des Geltungsbereiches der Lichtleitlinie, da verkehrstechnisch relevante Immissionsorte nicht zu besonders schützenswerten Räumen zählen. Die Berechnungsmethode stützt sich daher auf den Bereich der physikalischen Lichttechnik und betrachtet die Absolutblendung. In der Lichttechnik wird allerdings die Physiognomie des menschlichen Auges nicht berücksichtigt, welche die Adaption des Auges an die vorherrschende Umgebungsleuchtdichte beschreibt. Hierzu findet in diesem Gutachten eine Beurteilung statt, die den Sonnenstand im Vergleich zum Emmissionsort der Reflektion betrachtet.

Die psychologische Blendung wird in diesem Gutachten als Belästigung bezeichnet und nach der Lichtleitlinie LAI (Hinweise zur Messung, Beurteilung und Minderung von Lichtimmissionen, vom 13.09.2012) berechnet.

b. Physikalische Grundlagen

Die physikalischen Grundlagen einer Blendung liegen in der Optik. Die Ursache ist die Reflektion von Strahlung an einer glatten Oberfläche. Die Oberfläche eines PV-Moduls besteht aus gehärtetem Glas, dies ist eine glatte Oberfläche welche eine Reflektion von einfallender Strahlung verursacht.

Das Reflexionsgesetz besagt, dass der Ausfallswinkel (auch Reflexionswinkel) genau so groß wie der Einfallswinkel ist, $\alpha = \beta$, und beide mit dem Lot in einer Ebene, der Einfallsebene, liegen.

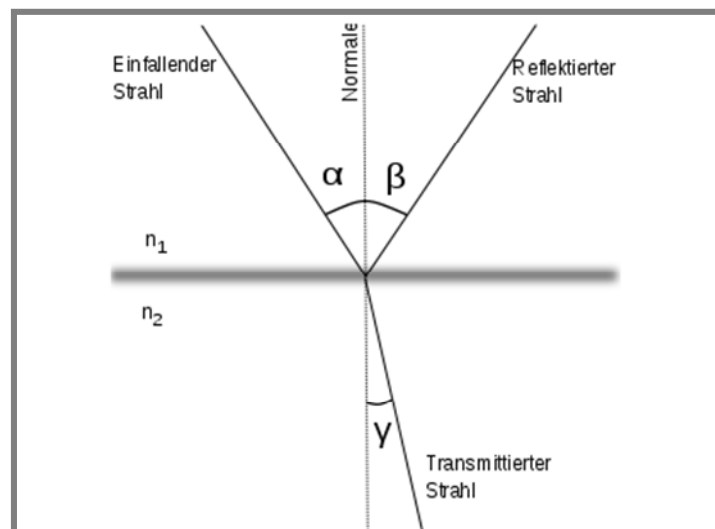


Abbildung 2: Prinzip Reflexionsgesetz

[Quelle: Tim Hellwig, Wikipedia]

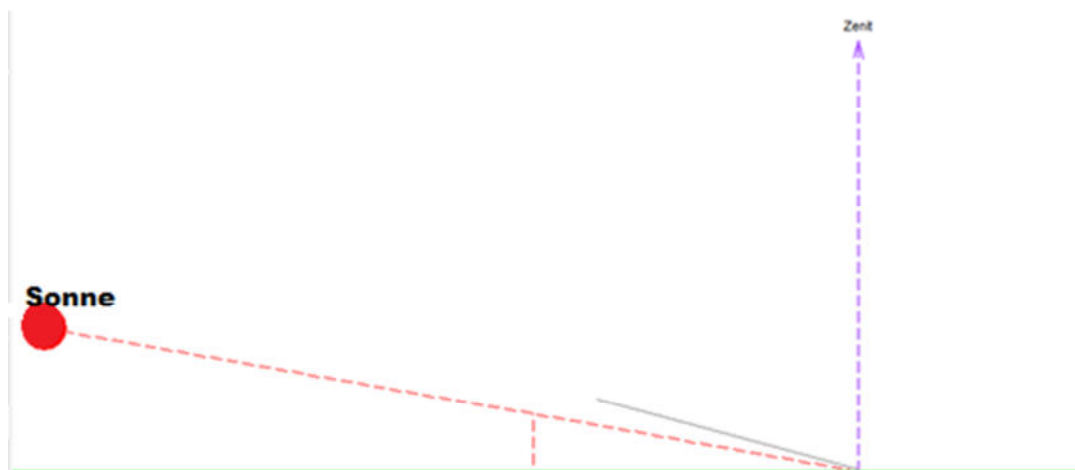


Abbildung 3: schematische Darstellung - Sonne hinter Modulebene (21.05.; 05:00Uhr)[Quelle:PVSyst]

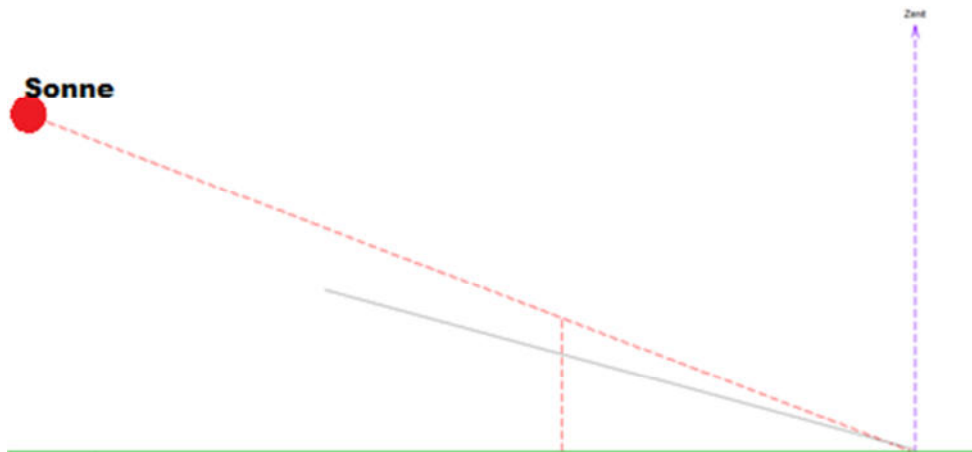


Abbildung 4: schematische Darstellung: Sonne trifft auf Moduloberfläche, ist aber in Draufsicht hinter Modul (21.06.; 05:30Uhr)[Quelle: PVSyst]

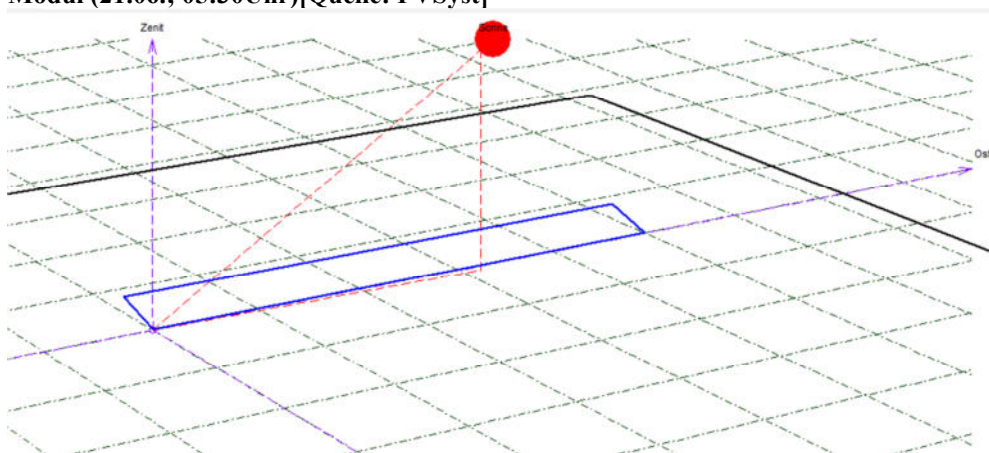


Abbildung 5: schematische Darstellung Sonne trifft von vorn auf Modul (21.06.; 08:00Uhr)[Quelle: PVSyst]

Abbildung 3 bis Abbildung 5 verdeutlicht den Sonneneinfall auf die Modulfläche. In Situationen wie Abbildung 3 ist keine Blendung möglich, da die Sonne hinter der Modulebene ist und somit die Module kein Sonnenlicht reflektieren können. Abbildung 5 zeigt die Situation, in der die Sonne von vorn auf das Modul scheint – der Einfallswinkel auf das Modul ist dann so groß, dass Reflektionen nur in sehr großer Höhe auf einen Betrachter fallen können. (Beispiel: am 21.12. zur Mittagszeit müsste ein Betrachter 5m nördlich eines Module aus 5 m Höhe auf das Modul schauen, um das Spiegelbild der Sonne zu sehen). Im Regelfall kommt es bei Sonnenstandssituationen wie in Abbildung 4 zur Blendung beim Betrachter, also bei Sonnenazimut $< -90^\circ$ und $> 90^\circ$. Diese Situationen treten vom 20.März bis 23.September ein (vgl. Abbildung 7: Sonnenlaufbahn am Anlagenstandort).

c. Berechnung der Lichttechnik

Anwendungsbereich bei verkehrstechnisch relevanten Immissionsorten. Eine Berechnung der resultierenden Leuchtdichte des Solarmoduls auf einen Betrachter ist wie folgt möglich:

Leuchtdichte der Sonne – zwischen Sonne am Horizont und Mittagssonne

$$6 \times 10^6 \left[\frac{cd}{m^2} \right] < L_S < 1,5 \times 10^9 \left[\frac{cd}{m^2} \right]$$

Minimaler Abstand Modul zu Betrachter bei möglicher Blendung

$$r [m]$$

Üblicherweise wird ein Sonnenhöchststand zwischen 60° und 63° erreicht. Eine Reflexion auf einen Betrachter ist je nach Ausrichtung des Solarmoduls und Lage zum Betrachter meist bis maximal 25° Sonnenhöhe möglich. Somit wird die max. Leuchtdichte der Sonne zum Zeitpunkt der Blendung auf den Mittelwert zwischen Leuchtdichte der Sonne am Horizont und der Mittagssonne gesetzt (für abweichende Ausgangssituationen wird dieser Wert entsprechend angepasst) und resultiert zu:

$$L_S = 7,5 \times 10^8 \left[\frac{cd}{m^2} \right]$$

Nach Abbildung 6: Reflexion von Solarmodulen in Abhängigkeit vom Einfallswinkel solarer Einstrahlung / [Quelle: Deutsche Flugsicherung (DFS): Aeronautical Information Publication - Luftfahrthandbuch AIP VFR] resultiert für die Oberfläche des Solarmoduls eine Reflexionsrate von 7 %. Die abstrahlende Lichtstärke des Moduls folgt dann zu:

$$I_M = 52,5 \times 10^6 [cd] < 5,3 \times 10^7 [cd]$$

Durch die Antireflexbeschichtung des Moduls tritt keine optimal spiegelnde Reflexion auf, sondern eine diffuse. Diese diffuse Reflexion wird auch Lambertreflexion genannt. Die Blendquelle erscheint also als Lambertstrahler. Aus dieser Annahme folgt:

Die Leuchtdichte des Moduls beim Betrachter am minimal entfernten Punkt von Betrachter zu Modul folgt zu:

$$L_B = \frac{I_M}{A} = \frac{I_M}{2\pi r^2} = \frac{5,3 \times 10^7}{6,3 \times r^2} \left[\frac{cd}{m^2} \right]$$

wobei A die Fläche der Halbkugel aufgespannt bei r (minimale Entfernung des Betrachters) ist.

Bereich der vorherrschenden Umgebungsleuchtdichte = $10^2 < L_U < 10^3$

Absolutblendung = $L_A \cong 1,0 \times 10^5 \left[\frac{cd}{m^2} \right]$

d. Mathematische Berechnungsmethode der astronomischen Blendzeiten

Anwendungsbereich bei psychologischer Blendung

Gegebene Größen zur Bestimmung der kritischen Sonnenhöhe (γ_S) und des kritischen Sonnenazimutes (α_S), bei denen durch direkte Spiegelung Reflektionen am PV-Generator auftreten können.

α ~ Azimutwinkel PV – Modul

β ~ Neigungswinkel PV – Modul

\vec{b} ~ Ortsvektor Beobachter

\vec{p} ~ Ortsvektor PV – Element

Berechnungsmethode:

Bestimmen des Normalenvektors PV

$$\vec{n} = \begin{pmatrix} -\sin \beta * \sin \alpha \\ -\sin \beta * \cos \alpha \\ \cos \beta \end{pmatrix}$$

Bestimmen des Richtungsvektors vom Beobachter zur PVA, wobei der Koordinatenursprung auf den Beobachter gesetzt wird.

$$\vec{r} = \vec{p} - \vec{b}$$
$$\vec{d} = -(\vec{n} * \vec{r}) * \vec{n}$$

Abstand des Beobachters zur PVA

$$d = \vec{n} * \vec{d}$$

Wenn $d < 0$ – Sonne auf Rückseite PV-Modul – keine Spiegelung

$$\vec{r}' = \vec{r} + 2 * \vec{d}$$

$$\gamma_S = \Delta\gamma_S + \arcsin \frac{r'_z}{\|\vec{r}'\|}$$

$$\alpha_S = \Delta\alpha_S - \arctan \frac{-r'_x}{r'_y}$$

Wobei nach LAI $\Delta\gamma_S = 0$ und $\Delta\alpha_S = 0$

Des Weiteren wird der Winkel zwischen dem Sonnenstand und dem Spiegelbild vom Beobachter aus gesehen ermittelt.

$$\kappa = \cos^{-1} \frac{\vec{r} * \vec{r}'}{r * r'}$$

Nach LAI wird eine reflektierte Lichtquelle erst bei einem Winkel $> 10^\circ$ als eigene Lichtquelle vom Menschen wahrgenommen.

Nach DIN 5034-2 lässt sich der Sonnenstand abhängig von Uhrzeit und Datum berechnen.

$\varphi \sim$ geogr. Breite

$\lambda \sim$ geographische Länge

$$\omega = (12h - WOZ) * \frac{15^\circ}{h} \sim \text{Stundenwinkel}$$

$$WOZ = MOZ + Zgl \sim \text{wahre Ortszeit}$$

$$MOZ = LZ - \text{Zeitzone} + 4 * \lambda \sim \text{mittlere Ortszeit}$$

$Zgl(J') \sim$ Zeitgleichung

$\delta(J') \sim$ Sonnendeklination

$$\gamma_S = \arcsin(\cos \omega * \cos \varphi * \cos \delta + \sin \varphi * (\delta))$$

$$\alpha_S = 180^\circ - \arccos \frac{\sin \gamma_S * \sin \varphi - \sin \delta}{\cos \gamma_S * \cos \varphi}, \text{ für } WOZ \leq 12:00 \text{ Uhr}$$

$$\alpha_S = 180^\circ - \arccos \frac{\sin \gamma_S * \sin \varphi - \sin \delta}{\cos \gamma_S * \cos \varphi}, \text{ für } WOZ > 12:00 \text{ Uhr}$$

e. Reflektionsverhalten von PV-Modulen

Eine Blendung wird an einer reflektierenden Oberfläche verursacht. Die Module sind nach aktuellem Stand der Technik mit reflexionsarmen Solar-Sicherheitsglas ausgestattet (eine Abweichung der Moduloberfläche wird explizit ausgewiesen)

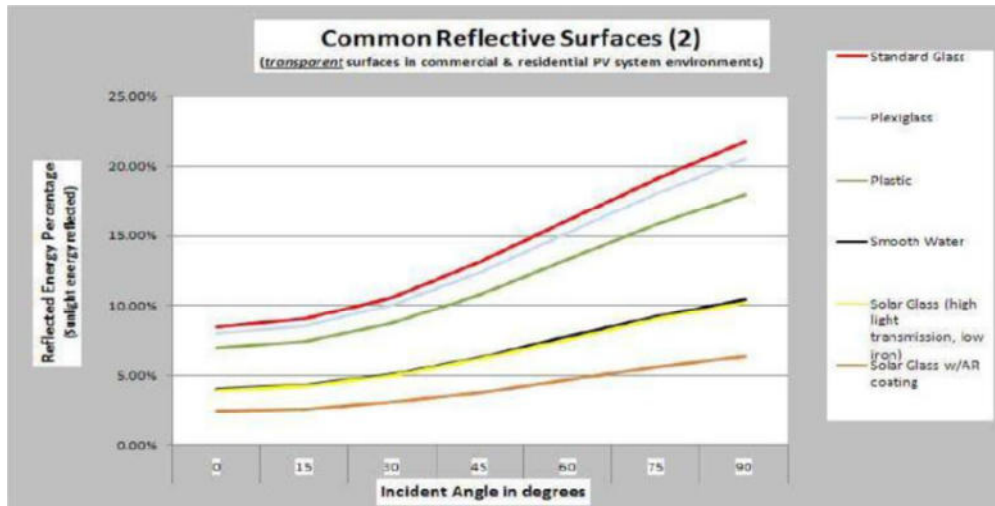


Abbildung 6: Reflexion von Solarmodulen in Abhängigkeit vom Einfallswinkel solarer Einstrahlung / [Quelle: Deutsche Flugsicherung (DFS): Aeronautical Information Publication - Luftfahrthandbuch AIP VFR]

Ergänzend ist darauf hinzuweisen, dass nasse PV-Oberflächen deutlich veränderte Reflexionseigenschaften aufweisen. Allerdings führt die Neigung der Oberfläche der Module zu einem raschen Abfließen des Wassers, so dass nach einem Regenereignis keine erhebliche Beeinträchtigung zu erwarten ist. Die Entwicklung bei Solarmodulen zielte in der Vergangenheit unter anderem auf eine weitestgehende Minimierung der Strahlungsverluste durch Reflexionen ab. Hierzu sind Solarmodule nach dem Stand der Technik (Q.PEAK DUO XL-G11.3) mit Antireflexausrüstungen durch Oberflächenstrukturierungen (mikrotexturierte Oberflächen) und weitere Entspiegelungstechniken ausgestattet. Die Reflexionen werden dabei weitestgehend minimiert. Diese Konstruktion führt zu einer erheblichen Aufweitung des reflektierten Strahls. Fokussierte, gebündelte Blendstrahlen können hierdurch nicht entstehen, es kommt allenfalls zu einem flächenhaften Lichteindruck, ähnlich Gewässerflächen. [Quelle: Dr.-Ing. Frank Dröscher, Beurteilung der möglichen Blendwirkung eines Solarparks und dessen thermischen Effekte am Verkehrslandeplatz Eberswalde-Finow].

3. Rahmenbedingungen am Standort

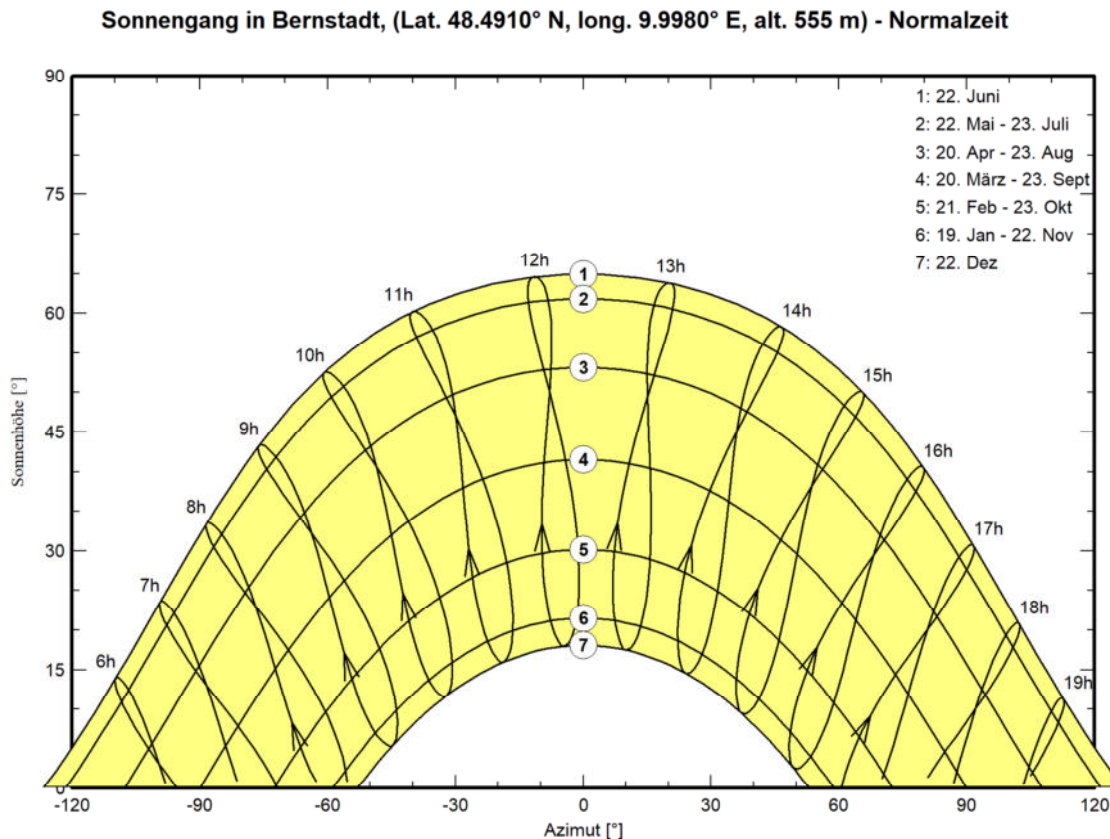


Abbildung 7: Sonnenlaufbahn am Anlagenstandort [Quelle: PVSyst 7.2]

Abbildung 7 zeigt die Sonnenlaufbahn am Anlagenstandort. Aus diesem Diagramm lässt sich der jeweilige Einfallswinkel der Sonne auf die Horizontale Ebene auslesen. Am Anlagenstandort ist demnach ein Sonnenhöchststand von ca. 65° möglich.

4. mögliche Immissionsobjekte

Zur Beurteilung des Blendverhaltens von Photovoltaik-Anlagen im folgenden ("PVA") müssen die einzelnen möglichen Immissionsorte festgestellt und ihre geographische Lage zur PVA ermittelt werden. Je kürzer die Entfernung eines Immissionsortes zur PVA ist, desto größer ist die Wahrscheinlichkeit einer möglichen Blendung.

In diesem Gutachten werden zunächst die besonders Schutzwürdigen Räume, welche der geplanten PVA am nächsten liegen, betrachtet. Sollte sich eine Belästigung durch Blendung herausstellen, werden weitere Immissionsorte in die Berechnungen mit einbezogen. Des Weiteren werden die verkehrsrelevanten Immissionsorte und ihre Lage zur PVA betrachtet.

In Tabelle 2 sind die möglichen Immissionsorte mit ihrer Entfernung zur PVA angegeben.

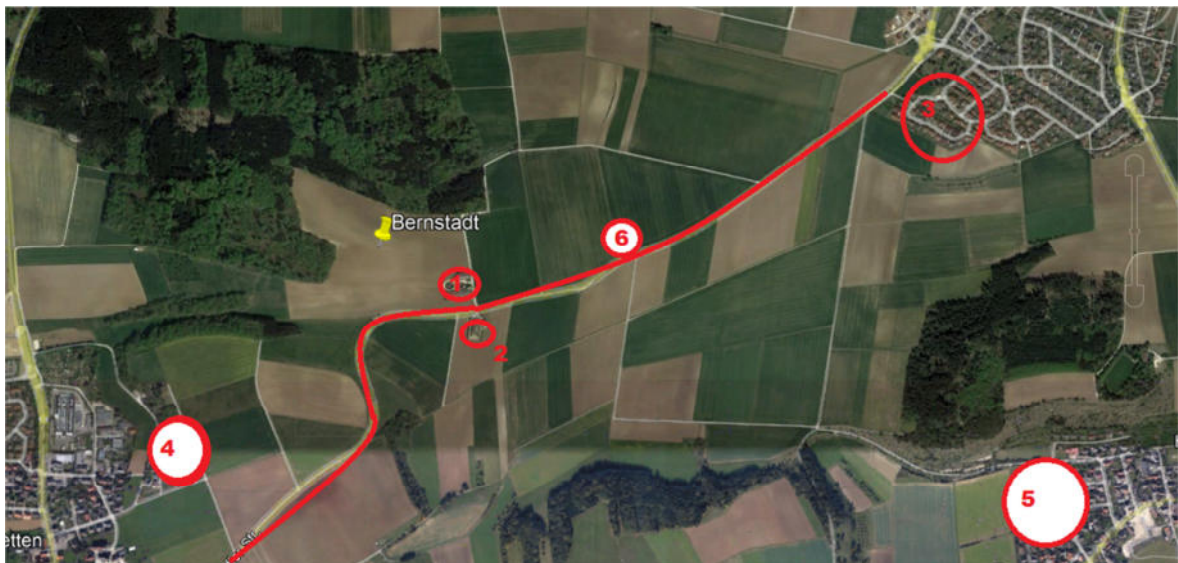


Abbildung 8: mögliche Immissionsorte [Quelle:Google Earth]

Nr.	Adresse / Ort	Entfernung zur PVA
1	Stallungen 1	25 m
2	Stallungen 2	112 m
3	Bernstadt Ahornweg	1.270 m
4	Beimerstetten im Bühl	1.700 m
5	Hörvelsing Gardenstraße	435 m
6	Bernstadter Straße	20 m

Tabelle 2: Immissionsorte und ihre Entfernung zur PVA

Aus den Immissionsbereichen 3 bis 5 wurden die Wohngebäude ausgesucht, deren Entfernung zur geplanten PVA am kürzesten ist.

5. Situation am Anlagenstandort

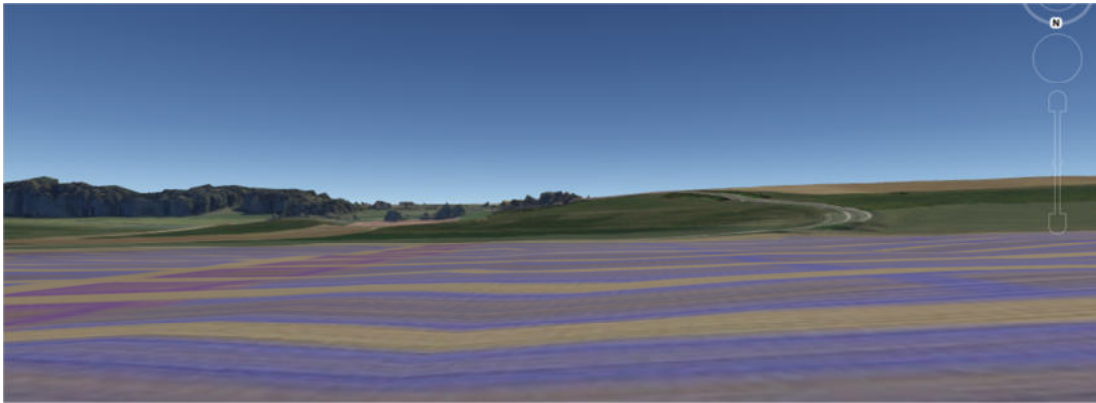


Abbildung 9: Bodenansicht am Anlagenstandort Richtung Süd [Quelle: Google Earth]



Abbildung 10: Blick von südlich der PVA Richtung Bernstadt Ahornweg



Abbildung 11: Blick Richtung West auf die geplante PVA – mit bestehenden Stallungen und Maschinenhallen

Zur Beurteilung und Berechnung einer möglichen Blendung müssen die topographischen Eigenschaften am Anlagenstandort mit berücksichtigt werden. Wie in Abbildung 11: Blick Richtung West auf die geplante PVA – mit bestehenden Stallungen und Maschinenhallen ersichtlich weist das Gelände Höhenunterschiede auf. Das Gelände fällt nach Süden ab. Nach Hörvelsing und Beimerstetten besteht keine Sichtverbindung.

a. Bewertung der Immissionsorte

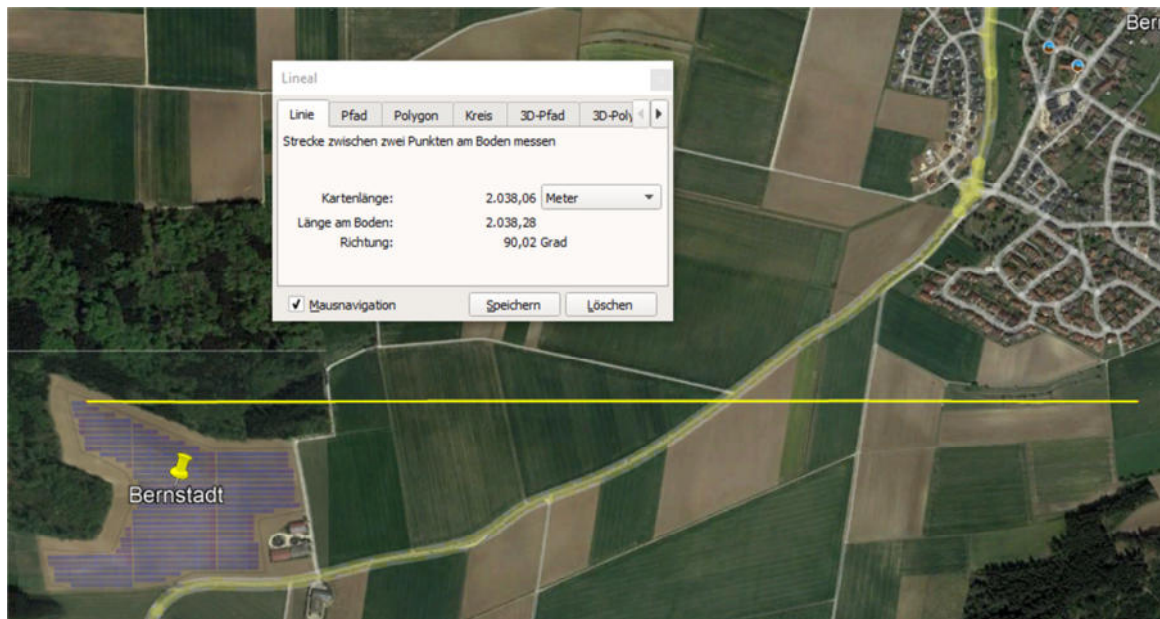


Abbildung 12: nördlichster Einfallswinkel der Reflektionsstrahlen [Quelle: Google Earth, eigene Berechnungen]

Bei einer Modulneigung von 25° und Südausrichtung beträgt der maximale Winkelunterschied in der Draufsicht von der PVA zum Betrachter $\pm 23^\circ$, bei größeren Winkeln wird ein Teil des Himmels reflektiert, an dem die Sonne nie sichtbar ist. Auf Grund dieser Tatsachen werden die Entfernungen vom Beobachter zur Sonnenlicht reflektierenden PVA größer, bzw. einige Immissionsorte können ausgeschlossen werden. In der LAI wird nicht genauer auf den Verkehr eingegangen, etwaige Beurteilungen zu Blickrichtungen fehlen hier. Laut Richtlinie R11-3 (Blendung durch Photovoltaikanlagen) des österreichischen Verbandes für Elektrotechnik (der LAI angelehnt) sind Blendungen nur in einem Einfallswinkel bis 30° zur Fahrtrichtung relevant.

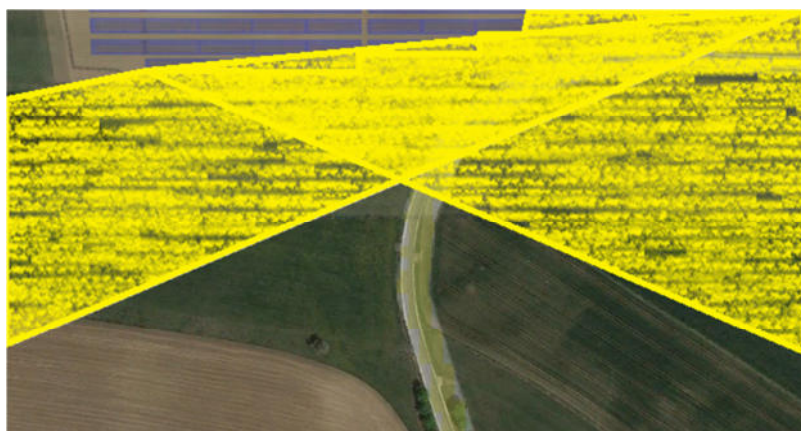


Abbildung 13: maximal möglicher Reflektionsbereich südlich [Quelle: Google Earth; eigene Berechnungen]

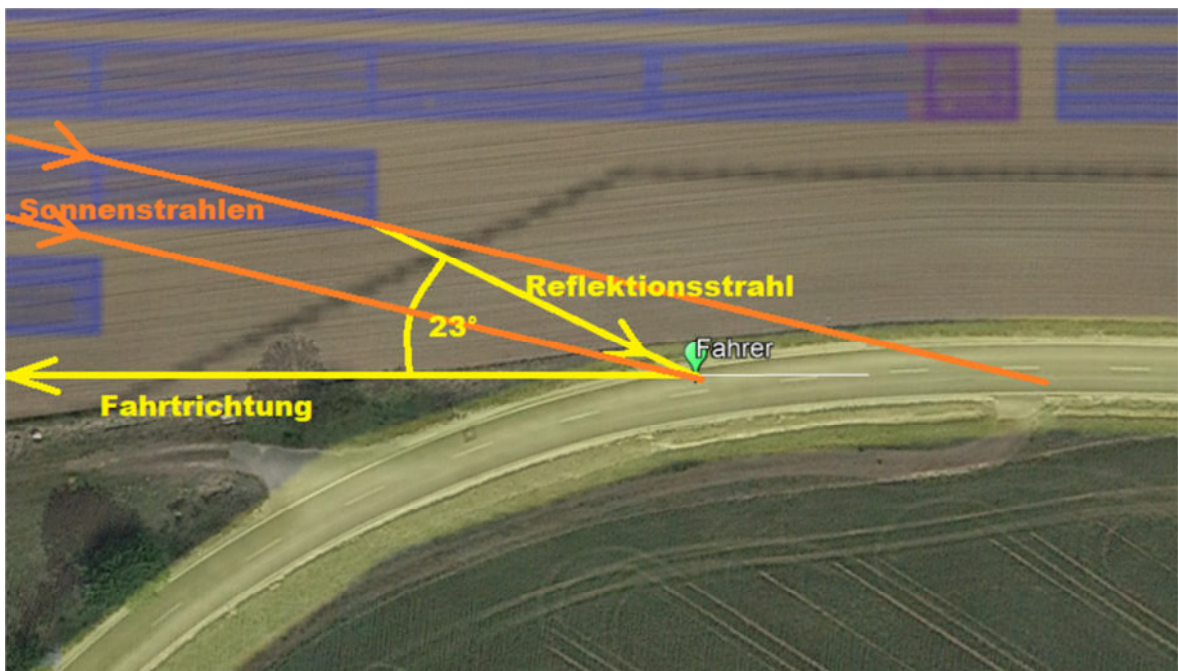


Abbildung 14: Richtungsvektoren: Sonne, Reflektion, Fahrtrichtung Beimerstetten [Quelle: Google Earth, eigene Berechnungen]

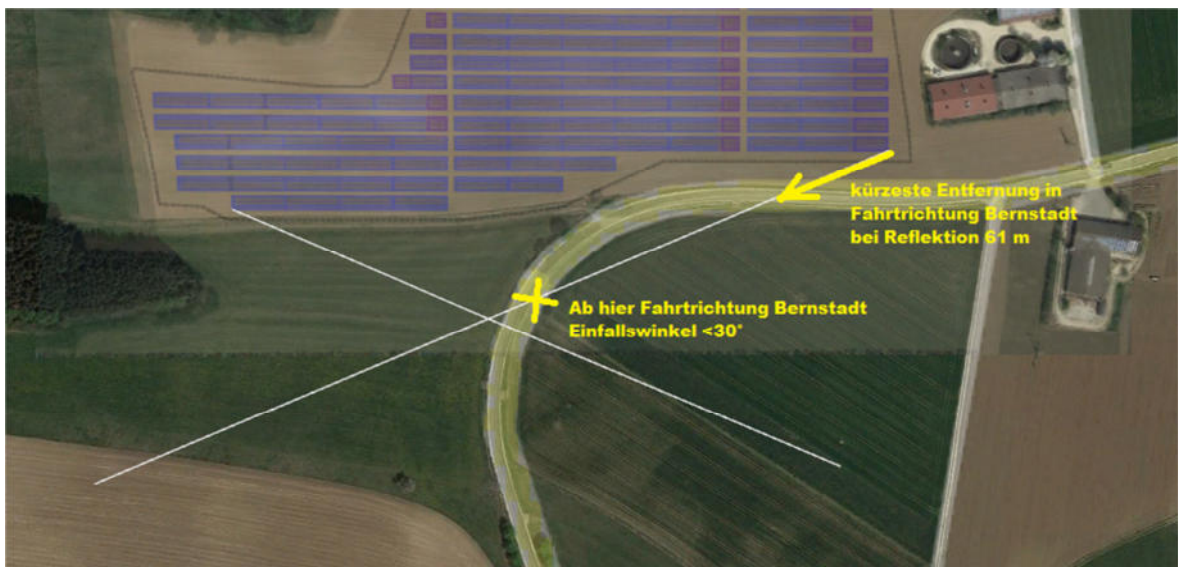


Abbildung 15: kürzeste Entfernung der Reflektionsstrahlen in Fahrtrichtung Bernstadt [Quelle: Google Earth; eigene Berechnungen]

Nr.	Adresse / Ort	Kürzeste Entfernung zur PVA in Blendrichtung
1	Stallungen 1	25 m – kein bes. schutzwürdiger Raum
2	Stallungen 2	112 m - kein bes. schutzwürdiger Raum
3	Bernstadt Ahornweg	Zu nördlich
4	Beimerstetten Im Bühl	Keine Sichtverbindung durch Geländestruktur
5	Hörvelsingn Gartenstraße	Keine Sichtverbindung durch Geländestruktur
6	Bernstadter Straße	Fahrtrichtung Beimerstetten: 37 m Fahrtrichtung Bernstadt: 61 m

Tabelle 3: Immissionsorte und ihre Entfernung zur PVA in Blendrichtung

Laut LAI (Hinweise zur Messung, Beurteilung und Minderung von Lichtimmissionen der Bund/Länder-Arbeitsgemeinschaft für Immissionsschutz) sind Gebäude (Schutzwürdige Räume) mit Entfernungen von weniger als 100m zu betrachten. Bei den Gebäuden 1 und 2 handelt es sich ausschließlich um Stallungen. Diese gelten nicht als besonders schützenswerte Räume, die Berechnung der astronomischen Blendzeiten ist daher nicht erforderlich. In der Literatur wird ausschließlich auf die Beeinträchtigung von nachtaktiven Tieren durch künstliche Lichtquellen eingegangen. Die Reflektion der Sonne an einer PV-Oberfläche ist ähnlich der an einer Wasseroberfläche. Für Nutzvieh existieren daher nachvollziehbarer Weise keine gesetzlichen Bestimmungen.

b. Berechnung der Lichttechnik

Verkehrstechnisch relevante Orte

Eine Berechnung der resultierenden Leuchtdichte des Solarmoduls auf einen Betrachter am Anlagenstandort Bernstadt (Bernstadter Straße) ist wie folgt möglich:

Leuchtdichte der Sonne – zwischen Sonne am Horizont und Mittagssonne

$$L_S(5^\circ) = 6 \times 10^6 \left[\frac{cd}{m^2} \right] < L_S < L_S(60^\circ) 1,5 \times 10^9 \left[\frac{cd}{m^2} \right]$$

Minimaler Abstand Modul zu Betrachter bei möglicher Blendung (siehe Abbildung 14) (in Klammern Richtung Bernstadt)

$$r = 37 [m] \quad (61)$$

Am Anlagenstandort wird ein Sonnenhöchststand von 65° erreicht. Somit wird die max. Leuchtdichte der Sonne zum Zeitpunkt der Blendung (höchster möglicher Sonnenazimut bei Blendung bei $19,8^\circ$) auf ein Drittel der Leuchtdichte der Sonne zur Mittagssonne gesetzt und resultiert zu: (siehe Wikipedia Beleuchtungsstärke Sonne 60° , klarer Himmel = 90.000 lx – Sonne 16° , klarer Himmel = 20.000 lx)

$$L_S = 5 \times 10^8 \left[\frac{cd}{m^2} \right]$$

Nach Abbildung 6 resultiert für die Oberfläche des Solarmoduls eine Reflexionsrate von 7%. Die abstrahlende Lichtstärke des Moduls folgt dann zu:

$$I_M = 3,5 \times 10^7 [cd]$$

Durch die Antireflexbeschichtung des Moduls tritt keine optimal spiegelnde Reflexion auf, sondern eine diffuse. Diese diffuse Reflexion wird auch Lambertreflexion genannt. Die Blendquelle erscheint also als Lambertstrahler. Aus dieser Annahme folgt:

Die Leuchtdichte des Moduls beim Betrachter am minimal entfernten Punkt von Betrachter zu Modul folgt zu:

$$L_B = \frac{I_M}{A} = \frac{I_M}{2\pi r^2} = \frac{3,5 \times 10^7}{2\pi r^2} \left[\frac{cd}{m^2} \right] \cong 4,1 \times 10^3 \left[\frac{cd}{m^2} \right] \quad (1,5 \times 10^3)$$

wobei A die Fläche der Halbkugel aufgespannt bei r (minimale Entfernung des Betrachters) ist.

Auf der Bernstadter Straße liegt die Leuchtdichte leicht über dem Bereich der vorherrschenden Umgebungsleuchtdichte (zwischen $10^2 < L_U < 10^3$), aber weit unter dem Grenzwert der Absolutblendung L_A .

$$L_B = 4,1 \times 10^3 \left[\frac{cd}{m^2} \right] (1,5 \times 10^3) < L_A = 1,0 \times 10^5 \left[\frac{cd}{m^2} \right]$$

Bei einer Straße handelt es sich laut Bundes-Immissions-Schutz-Gesetz (BImSch) nicht um besonders schützenswerte Räume. Die Berechnung der Blendzeiten nach LAI können hierfür also nicht betrachtet werden. Die LAI geht nicht weiter auf die Beeinflussung von Blendung im Verkehr ein. Bei der Betrachtung der Störung durch Reflektion wird an dieser Stelle auf die Adaption des menschlichen Auges verwiesen, da es nur bei relativ niedrigen Sonnenständen zu Reflektionen kommt, der Winkel zum einfallenden Sonnenlicht und der Fahrtrichtung geringer ist als zur Reflektionsquelle und das Auge dann durch den niedrigen Sonnenstand an diese helle Umgebung angepasst ist.

Da die Leuchtdichte an dem Immissionsort kleiner als die Leuchtdichte bei Absolutblendung ist, ist eine physiologische Blendung ausgeschlossen. Die LAI unterscheidet zwischen physiologischer und psychologischer Blendung. Die psychologische Blendung beschreibt die Belästigung der Immission durch Ablenkung. Für die psychologische Blendung gelten in besonders schutzwürdigen Räumen zeitlich begrenzte Schwellwerte. Zur Festlegung der Stärke der Beurteilung wird das Blendmaß k berechnet.

Im Falle von verkehrstechnisch relevanten Orten, die nicht als besonders schutzwürdiger Raum zu betrachten sind, soll dieser Wert die Relation der Belästigung verdeutlichen. Das Blendmaß k_s wird vornehmlich für technische Blendquellen zu Hilfe gezogen und beschreibt die Stärke der psychologischen Blendung.

$$k = 0,1 \times \frac{L_B}{\sqrt{L_U}}$$

Im vorliegenden Fall ist das Blendmaß für die Fahrtrichtung West

$$k = 0,1 \times \frac{4,1 \times 10^3}{\sqrt{10^3}} = \mathbf{13 (4,7)}$$

Das Blendmaß k hat nach Gebietsart gegliederte Schwellwerte nach folgender Tabelle:

	Immissionsort (Einwirkungsort) (Gebietsart nach § BauNVO) [2]	Immissionsrichtwert k für Blendung		
		6 h bis 20 h	20 h bis 22 h	22 h bis 6 h
1	Kurgebiete, Krankenhäuser, Pflegeanstalten (§ 3) ¹⁾	32	32	32
2	reine Wohngebiete allgemeine Wohngebiete (§ 4) besondere Wohngebiete (§ 4a) Kleinsiedlungsgebiete (§ 2) Erholungsgebiete (§ 10)	96	64	32
3	Dorfgebiete (§ 5) Mischgebiete (§ 6)	160	160	32
4	Kerngebiete (§ 7) ²⁾ Ge- werbegebiete (§ 8) In- dustriegebiete (§ 9)	-	-	160

Tabelle 4: max. Zulässiges Blendmaß nach Gebietsart

Auf der Bernstadter Straße liegt das Blendmaß an allen möglichen Punkten der Reflektion deutlich unter allen zulässigen Schwellwerten der psychologischen Blendung. Es ist also davon auszugehen, dass auch eine psychologische Blendung durch Ablenkung bei einem Verkehrsteilnehmer ausgeschlossen ist.

c. Astronomische Blendung

Die LAI beschreibt im Anhang 2 im Besonderen die Blendwirkung von Photovoltaikanlagen. Die festgelegten Schwellwerte für die zulässige Einwirkdauer lauten: nicht mehr als **30 min pro Tag** und nicht mehr als **30 Stunden pro Jahr**. Diese Einschränkungen gelten für besonders schutzwürdige Räume.

Bei den Gebäuden 1 und 2 handelt es sich ausschließlich um Stallungen. Diese gelten nicht als besonders schützenswerte Räume, die Berechnung der astronomischen Blendzeiten ist daher nicht erforderlich.

6. Fazit

Nr.	Adresse / Ort	Beurteilung zur Blendung
1	Stallungen 1	kein bes. schutzwürdiger Raum
2	Stallungen 2	kein bes. schutzwürdiger Raum
3	Bernstadt Ahornweg	Zu nördlich- keine Blendung
4	Beimerstetten Im Bühl	Keine Sichtverbindung durch Geländestruktur
5	Hörvelsingen Gartenstraße	Keine Sichtverbindung durch Geländestruktur
6	Bernstadter Straße	$L_B = 4,1 \times 10^3 \left[\frac{cd}{m^2}\right] (4,1 \times 10^3) \ll \text{Absolutblendung}$ Blendmaß $k = 13$ (5) unterschreitet alle Schwellwerte; Keine Blendung

Tabelle 5: Fazit zur Blendung der einzelnen Immissionsorte

Am vorgesehenen Anlagenstandort ist nicht mit Belästigungen auf Grund von Blendung der geplanten PVA oder Beeinträchtigung des Straßenverkehrs zu rechnen.

7. Gewährleistung

Dieses Gutachten wurde nach bestem Wissen und Gewissen unter Verwendung der zugearbeiteten Unterlagen mit größtmöglicher Sorgfalt erstellt. Die verwendeten Hilfsmittel befinden sich auf dem aktuellen Stand der Wissenschaft und Technik. Dennoch können Irrtümer oder Abweichungen nicht gänzlich ausgeschlossen werden. Hierfür wird von uns ausdrücklich keine Haftung übernommen. Gewährleistungen jeder Art sind ausgeschlossen.

8. Tabellenverzeichnis

Tabelle 1: Beauftragung	2
Tabelle 2: Immissionsorte und ihre Entfernung zur PVA	11
Tabelle 3: Immissionsorte und ihre Entfernung zur PVA in Blendrichtung.....	15
Tabelle 4: max. Zulässiges Blendmaß nach Gebietsart	18
Tabelle 5: Fazit zur Blendung der einzelnen Immissionsorte.....	19

9. Abbildungsverzeichnis

Abbildung 1: Satellitenbild mit Modulbelegungsplan der geplanten PV-Fläche	2
Abbildung 2: Prinzip Reflexionsgesetz	4
Abbildung 3: schematische Darstellung - Sonne hinter Modulebene (21.05.; 05:00Uhr)[Quelle:PVSyst].....	4
Abbildung 4: schematische Darstellung: Sonne trifft auf Moduloberfläche, ist aber in Draufsicht hinter Modul (21.06.; 05:30Uhr)[Quelle: PVSyst]	5
Abbildung 5: schematische Darstellung Sonne trifft von vorn auf Modul (21.06.; 08:00Uhr)[Quelle: PVSyst]	5
Abbildung 6: Reflexion von Solarmodulen in Abhängigkeit vom Einfallswinkel solarer Einstrahlung / [Quelle: Deutsche Flugsicherung (DFS): Aeronautical Information Publication - Luftfahrthandbuch AIP VFR].....	9
Abbildung 7: Sonnenlaufbahn am Anlagenstandort [Quelle: PVSyst 7.2].....	10
Abbildung 8: mögliche Immissionsorte [Quelle:Google Earth]	11
Abbildung 9: Bodenansicht am Anlagenstandort Richtung Süd [Quelle: Google Earth].....	12
Abbildung 10: Blick von südlich der PVA Richtung Bernstadt Ahornweg	12
Abbildung 11: Blick Richtung West auf die geplante PVA – mit bestehenden Stallungen und Maschinenhallen.....	12
Abbildung 12: nördlichster Einfallswinkel der Reflektionsstrahlen [Quelle: Google Earth, eigene Berechnungen].....	13
Abbildung 13: maximal möglicher Reflektionsbereich südlich [Quelle: Google Earth; eigene Berechnungen]	13
Abbildung 14: Richtungsvektoren: Sonne, Reflektion, Fahrtrichtung Beimerstetten [Quelle: Google Earth, eigene Berechnungen]	14
Abbildung 15: kürzeste Entfernung der Reflektionsstrahlen in Fahrtrichtung Bernstadt [Quelle: Google Earth; eigene Berechnungen]	14